



سنجش از دور

GIS ایران



سال هشتم، شماره اول، بهار ۱۳۹۵  
Vol.8, No. 1, Spring 2016

سنجش از دور و GIS ایران  
Iranian Remote Sensing & GIS

۵۵-۷۰

## تحلیل قابلیت شاخص‌های ارزیابی کیفیت تصاویر تلفیق‌شده ماهواره‌ای با مدل‌سازی تخریب طیفی و مکانی

مهرنوش شاکری‌پور<sup>۱\*</sup>، فردین میرزاپور<sup>۲</sup>، علی درویشی بلورانی<sup>۳</sup>، سید کاظم علوی‌پناه<sup>۴</sup>

۱. کارشناس ارشد سنجش از دور و سیستم اطلاعات جغرافیایی، گروه سنجش از دور و سیستم اطلاعات جغرافیایی، دانشکده جغرافیا، دانشگاه تهران

۲. استادیار، دانشکده برق، دانشگاه صدرا

۳. استادیار، دانشکده جغرافیا، گروه سنجش از دور و سیستم اطلاعات جغرافیایی، دانشگاه تهران

۴. استاد، دانشکده جغرافیا، گروه سنجش از دور و سیستم اطلاعات جغرافیایی، دانشگاه تهران

تاریخ دریافت مقاله: ۱۳۹۳/۸/۱۰

تاریخ پذیرش مقاله: ۱۳۹۵/۳/۲۷

### چکیده

تلفیق تصاویر ماهواره‌ای و ایجاد داده‌هایی با قابلیت مکانی و طیفی بالاتر از داده‌های موجود جایگاه و نقشی ویژه در مباحث سنجش از دور دارد. این در حالی است که دقت و کارآیی همه مراحل پردازش در مسیر استفاده از این داده‌ها به دقت و اعتنای‌پذیری داده تولید شده وابسته است. در نهایت، استفاده بهینه از تصویر تلفیق‌شده مبتنی بر دقت روش تلفیق است. بررسی این مهم به انتخاب درست شاخص ارزیابی، متناسب با هدف و حیطه کاربرد تصویر تلفیق شده، نیاز دارد. ارجحیت حفظ اطلاعات مکانی و طیفی در کاربردهای گوناگون، همچون منابع طبیعی، مناطق شهری و مانند آن، متفاوت است. بنابراین، انتخاب بهترین روش تلفیق با بررسی از طریق شاخص‌های ارزیابی کیفیت تصویر متناسب با حیطه کاربرد تصویر یکی از چالش‌های کاربران در این زمینه است. از این‌رو، مقاله حاضر به آنالیز و ارزیابی بیست روش رایج ارزیابی کیفیت تصویر، با هدف معرفی شاخص‌های مناسب در بین شاخص‌های مطرح براساس کاربرد تصویر تلفیق‌شده، معروف عوامل تفاوت نظر شاخص‌ها در بین کیفیت و ارائه مدلی برای دریافت توانای هریک از شاخص‌ها در نمایش اعوجاجات رخ داده در جنبه اطلاعات طیفی و مکانی تصویر پرداخته است. بدین منظور، دو شاخص فیلتر بالاگذر و زاویه نگاشت طیفی بهمنزله مبنای اطلاعات مکانی و طیفی تصویر در نظر گرفته شد و عملکرد هریک از شاخص‌ها در بین کیفیت داده‌های شبیه‌سازی شده، که شامل تصاویری با اعوجاج طیفی و مکانی کنترل شده است، بررسی شد. برای ایجاد اعوجاج طیفی از اثر اعمال فیلتر بالاگذر، جایه‌جایی باند و تغییر تن رنگ بهره گرفته شده است. همچنین، از فیلتر پایین‌گذر و عملگرهای فرسایشی با عنصر ساختاری با ابعاد متفاوت برای محدودش کردن اطلاعات مکانی استفاده شده است. در بررسی‌های انجام‌شده در این تحقیق، از تصاویر ماهواره‌های EO-1، Landsat 8 و Worldview که قدرت تفکیک طیفی و مکانی متفاوت دارند، استفاده شد. از هر تصویر قطعاتی با کاربری اراضی متفاوت بهمنزله تصاویر تست برش داده شد. نتیجه ارزیابی شاخص‌ها روی تصاویر تست دسته‌بندی شاخص‌ها، از نظر توانایی نمایش انحرافات طیفی و مکانی، در سه گروه قرار می‌گیرد. دسته نخست روش‌های مبتنی بر نویز برای ارزیابی کلی تصویر در مقابل نویز است، شامل شاخص‌های WSNR، PSNR، MSE، ERGAS، WSI، RASE، Q، MSSIM، NQM، FSIM، BIAS، SAM، RFSIM، SRSIM، SAM و HPF. دسته سوم شاخص هم‌روند با شاخص فیلتر بالاگذر «HPF»، شامل شاخص‌های MAD و است که برای برآورد تخریب اطلاعات مکانی تصویر مناسب‌تر است.

**کلیدواژه‌ها:** سنجش از دور، فیلتر بالاگذر<sup>۱</sup>، شاخص نگاشت زاویه طیفی، اطلاعات طیفی و مکانی.

\* نویسنده عهده‌دار مکاتبات: تهران، خیابان انقلاب، خیابان وصال شیرازی، نبش کوچه آذین، دانشکده جغرافیا. تلفن: ۰۹۱۳۲۰۸۲۶۹۳

Email: Shakeri\_m@ut.ac.ir

## ۱- مقدمه

«روش‌های صرفاً آماری»، مانند ضریب همبستگی<sup>۲</sup> است که همبستگی بین تصویر مرجع و تصویر حاصل از تلفیق را محاسبه می‌کند. این ضریب میزان شباهت بین دو تصویر را نشان می‌دهد که هر اندازه به ۱ نزدیک‌تر باشد، روش تلفیق ایده‌آل‌تر و شباهت دو تصویر به یکدیگر بیشتر است (Han et al., 2008). شاخص Bias بیانگر تفاوت میانگین تصویر مرجع و تصویر حاصل از تلفیق است که میزان کمتر این شاخص شباهت بیشتر تصاویر را نشان می‌دهد (Han et al., 2008).

شاخص Mean Square Error (MSE) مقدار خطای میانگین مربعی بین هر زوج پیکسل متناظر تصویر حاصل از تلفیق و تصویر مرجع را نشان می‌دهد. بدیهی است که به کمترین میزان رسیدن این معیار بیانگر بیشترین شباهت دو تصویر است. شاخص Relative Average Spectral Error (RASE) توصیفگر میانگین عملکرد روش مورد نظر در حفظ اطلاعات باندهای طیفی است. این شاخص به درصد بیان شده و به کمترین میزان رسیدن آن نشان‌دهنده عملکرد بهتر روش تلفیق در حفظ اطلاعات تصاویر ورودی به تصویر تلفیق شده است (Yuhendra et al., 2012).

شاخص ERGAS شاخصی مستقل از واحد، تعداد باندهای طیفی و نسبت مقیاس تصاویر تلفیق شده است که برای ارزیابی اعوجاج طیفی تصویر حاصل از تلفیق با تصویر مرجع در شرایط گوناگون ارائه شده است (Wald, 2000).

«روش‌های مبتنی بر نویز» شامل شاخص نسبت دامنه Signal to Noise Ratio (SNR) سیگنال به دامنه نویز براساس خطای جذر میانگین مربعی بین تصویر تلفیق شده با تصویر مرجع و، به عبارت دیگر، معیاری برای بیان اختشاش در سیگنال است. هرچه الگوریتم تلفیق تصاویر بهتر عمل کرده باشد و تصویر حاصل از تلفیق و تصویر مرجع بیشتر به یکدیگر شبیه

محددیت سیگنال به نویز سنجنده‌های سنجش از دور سبب شده تصاویر پانکروماتیک اطلاعات مکانی بالای داشته باشند اما در مقابل، تصاویر چندطبیفی و ابرطبیفی اطلاعات طیفی بیشتری را با قدرت تفکیک مکانی کمتر ارائه دهنده. تکنیک‌های تلفیق تصاویر، روشی مناسب برای دستیابی به تصویری با هر دو ویژگی طیفی و مکانی بالا است (Al-Wassai et al., 2011). هریک از روش‌های تلفیق نسبت‌های گوناگونی از اطلاعات مکانی و طیفی را به تصویر تلفیق شده انتقال می‌دهد که طی این فرایند، به طور معمول، مقداری اعوجاج در تصویر حاصل ایجاد می‌شود. یعنی در مراحل پیاده‌سازی الگوریتم، این اطلاعات دچار تغییراتی می‌شوند. در سال‌های اخیر، تکنیک‌های تلفیق تصاویر بسیاری توسعه یافته‌اند (Kim et al. 2011, Hu et al., 2010).

بنابراین، انتخاب روش مناسب در بین روش‌ها با توجه به کارآیی الگوریتم در حفظ اطلاعات تصویر و حیطه کاربرد تصویر اهمیت می‌یابد.

کیفیت تصویر بیان‌کننده میزان تخریب اطلاعات تصویر است (Zhang et al., 2011). از این‌رو، ارزیابی کیفیت تصویر تلفیق شده کارآیی الگوریتم تلفیق را در حفظ اطلاعات تصاویر ورودی نشان می‌دهد. روش‌های ارزیابی کیفیت تصویر<sup>۱</sup> به دو دسته کلی روش‌های «ارزیابی بصری» و «ارزیابی کمی» تقسیم‌بندی می‌شود (Shi et al., 2005).

ارزیابی بصری، افزون بر زمان‌بر و پرهزینه بودن، دارای مشکلاتی در روند ارزیابی است، همچون شرایط نمایش تصویر و تفاوت درک بصری افراد متفاوت. از این‌رو، ارزیابی کمی کیفیت تصویر از زمینه‌های فعل در تحقیقات مرتبط با حوزه تصویر است (Raut et al., 2013).

بر مبنای دیدگاهی کلی، روش‌های ارزیابی کیفیت کمی در سیر تکاملی خود، از روش‌های صرفاً آماری به روش‌های مبتنی بر پارامترهای بصری ارتقا یافته‌اند که براساس نوع عملکرد نیز دسته‌بندی شده‌اند. ابتدایی‌ترین روش‌های ارزیابی کیفیت تصویر شامل

1. Image Quality

2. Correlation Coefficient

رابطه خطی ساده‌ای این فاصله‌ها را محاسبه می‌کند. این روش مبتنی بر روش‌نایی<sup>۱</sup> و زاویه بصری<sup>۲</sup> است (Chandler & Hemami, 2007).

«روش مبتنی بر محتوای اطلاعات موجود در سیگنال» شامل شاخص کیفیت (UQI) universal quality index است. این معیار مشکل از سه بخش ضریب همبستگی بین تصویر حاصل از تلفیق و تصویر مرجع، تفاوت اختلاف روش‌نایی بین دو تصویر تلفیق شده و مرجع است که درواقع، نزدیکی میانگین روش‌نایی دو تصویر با محدوده تغییرات «۱-۰» را بیان می‌کند و شباهت کنترast بین دو تصویر تلفیق شده و مرجع با دامنه تغییراتی «۰-۱» است و در صورت شباهت کامل، ارزش «۱» را دریافت می‌کند (Wang and Bovik, 2002).

«روش‌های مبتنی بر پارامترهای بصری» شامل روش مبتنی بر شباهت ساختاری<sup>۳</sup> است. شاخص شباهت ساختاری به منزله حالت بهبودیافته شاخص‌های RMSE معرفی شده است. در نسبت سیگنال به نویز و SSIM مقایسه می‌شوند. بنابراین، برای استفاده از شاخص RFSIM (Wang et al., 2004)، شاخص گوناگون است. شاخص Resize Feature Similarity با حذف جزئیات و شناسایی مکان لبه‌ها، شباهت بین دو تصویر مرجع و تصویر دارای اوجاج «تلفیق شده» را اندازه‌گیری می‌کند. در این روش، مجموع میزان لبه‌های استخراج شده از هر دو تصویر مرجع و تصویر دارای

- 
1. luminance
  2. visual angle
  3. Structural Similarity
  4. Multi-Scale Structural Similarity

باشد، مقدار بزرگتری برای این معیار به دست می‌آید (Hoult & Richards, 1976). در شاخص Weighted Signal to Noise Ratio به دامنه سیگنال بهوسیله پاسخ فرکانسی بر مبنای سیستم بینایی انسان تعیین می‌شود. سیستم بینایی انسان سیستمی غیرخطی است و اندازه‌گیری این پاسخ غیرخطی با تابع آستانه کنتراست صورت می‌گیرد که نشان‌دهنده کمترین میزان دامنه ضروری برای شناسایی موجی سینوسی، با توجه به فرکانس مکانی زاویه‌ای است. معکوس آستانه کنتراست پاسخ فرکانسی نامیده می‌شود. توزیع وزن بهوسیله تبدیل فوریه تصویر مرجع و پاسخ فرکانسی تصویر تلفیق شده محاسبه می‌شود (Kite et al., 2000). شاخص Quality Measure شبیه‌سازی شده از تصویر تولیدی بهوسیله فرایند فرکانس مکانی غیرخطی اندازه‌گیری می‌کند. شاخص NQM بر پایه هرم کنتراست Peli و طبق تغییر در حساسیت کنتراست با فاصله، ابعاد تصویر و فرکانس مکانی، تغییرات در میانگین درخشندگی محلی، تعامل بین کنتراست فرکانس‌های مکانی و آثار contrast (Damera et al., 2000) masking محاسبه می‌شود.

شاخص Visual Signal to Noise Ratio (VSNR) نسبت سیگنال به نویز بصری، با رویکردی دومرحله‌ای و معرفی آستانه، تلاش دارد ویژگی‌های سیستم بینایی انسان را پیاده‌سازی کند. مرحله نخست شناسایی کنتراست آستانه برای تشخیص اعوجاجات در تصویر با مدل مبتنی بر موجک، از طریق ماسک تصویر و جمع‌بندی بصری است. زیر آستانه تعریف شده VSNR=∞ بدون اعوجاج تشخیص داده می‌شود و اگر بالاتر از حد تعیین شده باشد، ویژگی‌های سطح پایین و میانی کل تصویر درنظر گرفته می‌شود. این دو ویژگی در مدل فاصله اقلیدسی با موجک چندمقایسه در فضای اعوجاج کنتراست تجزیه می‌شود و VSNR براساس

گرفته شده است. این بخش معیار از ویژگی‌های فیلتر گابور که قابلیت‌های آن در همخوانی با سیستم بینایی (Larson & Larson, 2010) انسان به اثبات رسیده، استفاده شده است.

Chandler, 2010)

هدف اصلی این پژوهش پاسخ به پرسش‌های مطرح شده در زمینه ارزیابی کیفیت تصاویر تلفیقی است. «شاخص‌های ارزیابی کیفیت تصویر امکان دارد بیان‌کننده کیفیت تصویر به صورت همه‌جانبه باشند. با این حال، باید مشخص شود که هریک از شاخص‌های مطرح شده توانایی نمایش اعوجاج را در کدام نوع اطلاعات تصویر دارد و نیز، تفاوت نظرهای شاخص‌ها در ارزیابی تصویر با کیفیت یکسان ناشی از چه عواملی است، در بین شاخص‌های مطرح شده با چه معیاری می‌شود شاخصی مناسب را براساس کاربرد تصویر تلفیقی انتخاب کرد و چگونه می‌شود دریافت یک شاخص چه نوع اطلاعات تصویر را ارزیابی می‌کند. در این مقاله، پس از مقدمه بیان شده و درک مسئله، در بخش مواد و روش‌ها، رویکرد پاسخ به پرسش‌های مطرح شده تشریح می‌شود. در بخش نتایج، پاسخ پرسش‌های مطرح شده بیان، و سرانجام، نتیجه‌گیری و پیشنهادهای حاصل از پژوهش ارائه می‌شود.

## ۲- مواد و روش‌ها

در این تحقیق، برای بررسی شاخص‌های معرفی شده در بخش مقدمه و تعیین قابلیت آنها در نمایش تخریب اطلاعات طیفی و مکانی، از تصاویر ماهواره‌ای Landsat8، EO\_1، Worldview تکییک مکانی و طیفی متنوعی‌اند، استفاده شد تا حساسیت عملکرد شاخص‌ها در برابر قدرت تکییک متفاوت مکانی سنجیده شود.

- 
1. phase congruency
  2. Gradient Magnitude
  3. visual saliency
  4. spectral residual visual saliency
  5. gradient modulus
  6. Most Apparent Distortion

اعوجاج، و میزان ویژگی‌های استخراج شده در تعداد دفعات تبدیل تغییر سایز بر تصویر اعمال شده با یکدیگر مقایسه می‌شوند (Zhang et al., 2010). شاخص Feature Similarity (FSIM) شباهت ساختاری به شمار می‌آید که خود، روشی مبتنی بر پیکسل است. بنابراین، این روش از دو جزء برای مرتفع کردن این ویژگی‌ها استفاده می‌کند. نخست، استفاده از تناسب فاز<sup>۱</sup> به جای تعریف مستقیم ویژگی‌هاست که تغییرات شدت را مشخص می‌کند و با استخراج تناسب فاز، ادعا دارد ویژگی‌ها، هرجا که اجزای فوریه در بیشینه فاز است، دریافت می‌شود. مرحله دوم شامل محاسبه مقدار گرادیان<sup>۲</sup> تصویر بهمنزله موضوعی سنتی در پردازش تصاویر است (Zhang et al., 2011). شاخص Spectral (SR-SIM) درواقع، براساس Reside\_Similarity مدل VS<sup>۳</sup> و پذیرش شاخص SRVS<sup>۴</sup> بهمنزله شاخصی مؤثر و کارآمد است. این شاخص، مانند بسیاری از دیگر شاخص‌های این گروه، دومرحله‌ای است و از جزء اضافی برای جبران حساسیت کنتراست استفاده می‌کند. برای نمونه، ساده‌ترین راه استفاده از GM<sup>۵</sup> است. بنابراین، نخستین مرحله ایجاد نقشه شباهت‌های محلی و درنهایت، استخراج مجموع نقشه شباهت در نمره کیفیت تک‌سیگنال است (Zhang et al., 2012).

شاخص بیشترین انحراف آشکار<sup>۶</sup> به ویژگی‌های سیستم بینایی انسان توجه دارد و ضعف روش‌های ارائه شده پیشین را در مدل‌سازی تک‌استراتژی برای سیستم بینایی انسان می‌داند. بنابراین، این معیار استراتژی چندگانه‌ای برای نزدیک‌تر شدن به کیفیت فهم‌شدنی برای سیستم بینایی انسان دارد. این شاخص دارای دو معیار برای درک اعوجاج صورت گرفته است.  $d_{detect}$  برای تصویر کیفیت بالا طراحی شده که نشان می‌دهد تخریب صورت گرفته نزدیک آستانه است. برای بیان خطای کنتراست تصویر از مفهوم کنتراست masking استفاده می‌کند. معیار  $d_{appear}$  برای تصاویر با کیفیت پایین دارای اعوجاج بالاتر از حد آستان درنظر

با گرایشی واضح به نوعی از تخریب اطلاعات طیفی و مکانی ایجاد شود. باید این نکته را در نظر داشت که بین اطلاعات مکانی و طیفی همبستگی خاصی وجود دارد و تخریب یکی در دیگری تأثیرگذار است. برای انجام دادن نوعی تخریب اطلاعاتی ویژه روی تصویر، می‌شود شدت‌هایی از تخریب بیشتر را بر نوعی از این اطلاعات پیاده‌سازی کرد که تا اندازه قابل قبولی در اطلاعات دیگر کمترین تأثیر را داشته باشد. به این منظور، باید یادآور شد که لبه‌ها در تصویر بهمنزله اطلاعات مکانی در نظر گرفته شد. از این‌رو، در گام نخست، تلاش شد اطلاعات طیفی تخریب و اطلاعات مکانی ثابت نگه داشته شود. بنابراین، دو روش برای تخریب اطلاعات طیفی در نظر گرفته شد.

#### ۱-۲-۲- مدل نخست

در این مدل از فیلتر خطی تغییرناپذیر با مکان استفاده شده است. خطی بین معنا که هر پیکسل از تصویر خروجی برابر با ترکیب خطی تعدادی از پیکسل‌های تصویر ورودی است که با پیکسل مورد نظر همسایه باشد. تغییرناپذیر با مکان به مفهوم این است که الگوریتم برای همه پیکسل‌های ورودی یکسان عمل می‌کند. این فیلتر از نوع پردازش‌های مجاورتی است که شامل تعریف نقطه مرکزی، عملیات روی پیکسل‌های تعریف شده بهمنزله همسایگی نقطه مرکزی، در نظر گرفتن نتیجه محاسبات بهمنزله پاسخ در آن نقطه و تکرار پردازش‌ها در همه نقاط تصویر است. بنابراین، عملیاتی که به جایه‌جایی نقطه مرکزی و تولید همسایگی جدید می‌انجامد، برای همه پیکسل‌های تصویر ورودی یکسان انجام می‌شود. در هر نقطه  $(x,y)$ ، پاسخ فیلتر برابر مجموع حاصلضرب ضرایب فیلتر در پیکسل‌های همسایگی ناحیه پوشیده شده به وسیله ماسک است. برای ماسکی با اندازه  $m \times n$ ، فرض می‌کنیم  $n=2a+1$  و  $m=2b+1$  که  $a$  و  $b$  اعداد صحیح نامنفی‌اند. درواقع، دارای ابعاد فرد و دارای کمترین اندازه  $3 \times 3$  هستند.

#### ۱-۲- داده‌های مورد استفاده

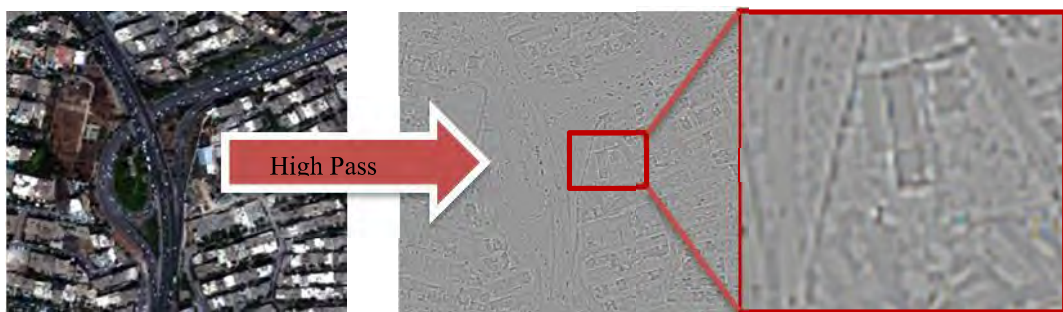
برای بررسی حساسیت عملکرد شاخص‌ها در برابر تغییر بافت تصویر، از تصاویر ماهواره‌ای متفاوت قطعاتی با کاربری اراضی گوناگون شامل کاربری شهری، کاربری پوشش گیاهی و یا کشاورزی، و کاربری‌های مخلوط شامل عوارض بشرساخت و طبیعی انتخاب شده است. ۱. ماهواره EO\_1 سنجنده ALI که در محدوده باند ۰/433-2/350 با قدرت تفکیک مکانی ۳۰ متر در نه باند طیفی و یک باند پانکروماتیک در محدوده طیفی ۰/690-0/480 با قدرت تفکیک مکانی ۵۰ متر تصویربرداری می‌کند. تصویر EO\_1 مورد استفاده با ردیف ۱۶۴ و مسیر ۳۵ است که در تاریخ ۲۶ فوریه ۲۰۰۷ اخذ شده و از ترکیب باندی ۳۲۱ آن استفاده شده است.

۲. ماهواره Landsat8، با یازده باند در محدوده طیفی ۰/43-12/51 با قدرت تفکیک مکانی متفاوت سی متر برای هفت باند نخست و باند نه، باند هشت بهمنزله باند پانکروماتیک در محدوده طیفی ۰/68-0/50 دارای قدرت تفکیک مکانی پانزده متر و باند ده و یازده بهمنزله باندهای حرارتی، دارای قدرت تفکیک مکانی ۱۲۰ متر است. تصویر لندست ۸ با ردیف ۱۶۴ و مسیر ۳۷ در تاریخ دوازدهم زوئیه ۲۰۱۳ اخذ شده و از ترکیب باندی ۴۳۲ آن استفاده شده است.

۳. ماهواره Worldview با هشت باند در محدوده طیفی ۰/89-0/401 میکرومتر، با قدرت تفکیک مکانی دو متر و باند پانکروماتیک آن در محدوده طیفی ۰/45 تا ۰/۸ میکرومتر، با قدرت تفکیک مکانی ۵/۰ متر در تاریخ چهاردهم زوئن ۲۰۱۰ اخذ شده است. این تصویر مربوط به شمال تهران، و از ترکیب باندی ۴۳۲ آن استفاده شده است.

#### ۲- روش کار

برای ارزیابی شاخص‌ها در نمایش تخریب اطلاعات تصویر از دو جنبه مکانی و طیفی، تلاش شد تصاویری



شکل ۱. اعمال مدل نخست بر تصویر تست تصویر Worldview2 با بافت شهری

شد تا اطلاعات طیفی تصویر به شدت تخریب شود.

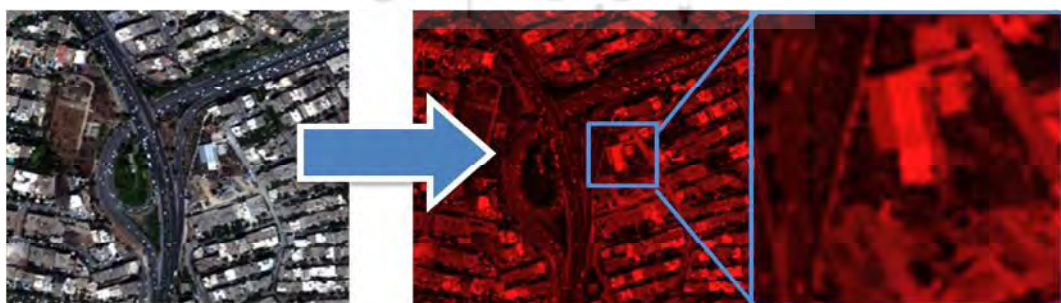
### ۲-۲-۳-۳- مدل سوم

در این مدل نیز، ویژگی‌های فیلتر خطی تغییرناپذیر با مکان که در مدل نخست شرح داده شده است، به کار رفت. البته در این مدل، هدف تخریب اطلاعات مکانی است. بنابراین، از فیلتر پایین‌گذر<sup>۱</sup> استفاده شد که مجموع مقادیر المان‌های آن برابر با یک است. اثر این فیلتر تضییف مؤلفه‌های بالا و تقریباً تغییر ندادن مؤلفه‌های پایین است. بنابراین، بیشترین تخریب اطلاعات مکانی با کمترین تأثیر در اطلاعات طیفی رخ می‌دهد. به عبارتی، فیلترهای پایین‌گذر تصویر را تار و مبهم می‌کند. این فیلتر دارای ابعاد  $3 \times 3$  با مرزهای گسترش‌یافته، از طریق انعکاس تصویر در طول مرزها و اعمال فیلتر از طریق عملیات همبستگی صورت گرفت.

نکته دیگری که در استفاده از فیلترها باید در نظر داشت، مربوط به مرز تصویر مورد فیلتر است. روش‌های گوناگونی برای گسترش مرزهای تصویر ورودی وجود دارد، مانند تکرار مقادیر مرز خارجی، لایه‌گذاری مرزهای تصویر ورودی با مقدار  $p$ ، درنظر گرفتن انعکاس تصویر در طول مرزها و یا تصویر به صورت یک تناوب (تابع متناوب دو بعدی). بنابراین در مدل نخست، از فیلتر بالاگذر که مجموع مقادیر المان‌های فیلتر برابر صفر است، با ابعاد  $3 \times 3$  و مرزهای گسترش‌یافته از طریق انعکاس تصویر در طول مرزها استفاده شد تا بدین ترتیب، روشنایی متوسط تصویر حذف و اطلاعات طیفی تصویر دچار تغییر شد.

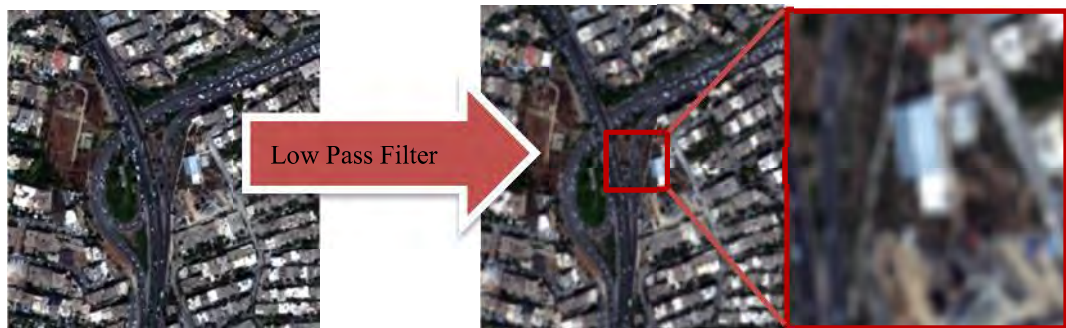
### ۲-۲-۴- مدل دوم

برای ایجاد اعوجاج طیفی، از جایه‌جایی باندها در برابر تصویر مرجع و افزایش ده برابر تن رنگ قرمز استفاده



شکل ۲. اعمال مدل دوم روی تصویر تست تصویر Worldview2 با بافت شهری

1. low-pass filter



شکل ۳. اعمال مدل سوم بر تصویر تست تصویر Worldview2 با بافت شهری

#### ۴-۲-۲- مدل چهارم و پنجم

عملگر فرسایش بر یک تصویر این گونه عمل می‌کند که کمینهٔ مقدار سطوح خاکستری مربوط به پیکسل‌های تصویر واقع در زیر عناصر ساختاری را به منزلهٔ مقدار تصویر در تصویر خروجی انتخاب می‌کند. بدین ترتیب، متناظر باز تصویر که از نواحی اطراف خود روش‌تر ناچیه‌ای از تصویر خواهد یافت و نواحی تیره‌تر گسترش باشد، فرسایش خواهد یافت و نواحی تیره‌تر گسترش می‌یابد. بنابراین، عملگر فرسایشی با محدودش کردن لبه‌های تصویر اطلاعات مکانی بهشت را تخریب می‌کند. درنتیجه، بهدلیل نوع عملکرد، عملیات فرسایش در تخریب اطلاعات مکانی در مدل چهارم عنصر ساختاری مربعی شکل با ابعاد ۲ و در مدل پنجم عنصر ساختاری مربعی شکل با ابعاد ۴ در نظر گرفته شد (شکل ۴)، با توجه به اینکه بین اطلاعات مکانی و طیفی همبستگی خاصی وجود دارد و تخریب یکی در دیگری تأثیرگذار است.

برای سنجش میزان تحریف در اطلاعات مکانی از شخص فیلتر بالاگذر (HPF) استفاده شد که بر این اصل استوار است که اطلاعات مکانی در فرکانس‌های بالا متمرکز است، بدین صورت که تصاویر فیلتر و سپس ضریب همبستگی بین آنها محاسبه شد. برای تعیین میزان انحرافات طیفی از شاخص نگاشت زاویه طیفی SAM استفاده شده است که ابزاری برای

عملیات مورفولوژی<sup>۱</sup> که در منابع گوناگون با نام‌هایی همچون عملیات ساختاری، ریخت‌شناسی یا عملیات شکل‌شناسی یاد می‌شود، پیاده‌سازی شد. عملیات مورفولوژی مجموعه‌ای از عملیات غیرخطی است، غیرخطی بدین معنا که انجام دادن عملیات روی یک همسایگی و تعریف همسایگی‌های  $n*m$  و انتقال نقطه مرکزی از روی تصویر انجام می‌شود. در حالی که خطی براساس محاسبه مجموع ضرایب بود (عملی خطی) و بر مبنای تئوری مجموعه برای پردازش تصاویر باینری شکل گرفت و با گسترش مفاهیم مورد استفاده، این عملیات برای پردازش تصاویر غیرباینری (یعنی تصاویر سطح خاکستری و پس از آن، برای پردازش تصاویر چندباندی) نیز تعریف شد و هدف از آن ایجاد تغییر یا تصحیح در اجزای داخلی تصویر است. ایده پایه این عملگر مقایسه ساختار درون تصویر با شکلی مرجع به نام عنصر ساختاری<sup>۲</sup> است. عنصر ساختاری معمولاً شکلی متقاضی، یکپارچه و محدب دارد. البته بنا به کاربرد و با توجه به دانش اولیه که درمورد مسئله وجود دارد، ممکن است شکل عنصر ساختاری این گونه نباشد. بنابراین، عنصر ساختاری ممکن است به شکل دلخواه شامل صفر و یک، یا به شکل لوزی با تعیین قطر، خطی با تعیین طول و زاویه، مستطیل با طول و عرض مشخص و یا مربعی به ضلع مشخص تعیین شود.

1. morphological pperation  
2. structuring element



شکل ۴. اعمال مدل سوم بر تصویر تست تصویر ۲ Worldview با بافت شهری

مکانی و طیفی، تصاویر ایجاد شده در اختیار سی ناظر قرار گرفت و خواسته شد تا تصویر مورد نظر را در یکی از پنج گروه عالی، خوب، متوسط، بد و بسیار بد قرار دهند. سپس، از آنان در مورد گروه کیفیت هریک از تصاویر رأی گیری شد و بیشترین رأی به منزله گروه کیفیت آن تصویر بیان شد.

**۶-۲-۲- مقایسه روش‌های کیفی و کمی**  
برای مقایسه کیفی مطرح شده، افزون بر میزان عددی هریک از شاخص‌ها، با توجه به تعریف شاخص متفاوت بدون حدود تعیین شده برای هر شاخص و تعریف بزرگ‌ترین یا کوچک‌ترین عدد در جایگاه نشانه بهترین کیفیت، الزام نرمالسازی و یکسان کردن تعریف کیفیت روش‌ها مطرح می‌شود. از این‌رو، حدود تعیین شده در هریک از روش‌های ارزیابی بررسی شدند. روش‌هایی همچون HPF، UQI، RFSIM، SSIM، MSSIM و RASE کیفیت ارزیابی‌اند که محدوده تعریف [۰-۱] دارند. میزان بیشتر و، به عبارت دیگر، نزدیک‌تر به یک بیانگر کیفیت بالاتر تصویر ادغام شده است. شاخص‌های ارزیابی Bias، ERGAS، MSE، SAM، MAD و RFSIM کمی انتخاب شده به منزله مبنای تحریف اطلاعات

نقشه‌برداری سریع از شباهت طیفی به شمار می‌رود، ویژگی‌های هندسی بین دو طیف را با واحد درجه بررسی می‌کند و مقادیر کم آن نشان‌دهنده نبود اعوجاج طیفی زیاد در تصویر حاصل از تلفیق در مقایسه با تصویر چندطیفی اولیه است (Robila, 2005). افزون بر شاخص‌های بیان شده که برای نمایش نوعی اطلاعات تصویر طراحی شده، دیگر شاخص‌های ارزیابی کیفیت SNR، FSIM، RFSIM، SR-SIM، SSIM، MSSIM، VSNR، UQI، NQM، WSNR، BIAS و CC، ERGAS، RASE، MSE، PSNR کدنویسی و مقدار عددی آنها برای هر تصویر تست محاسبه شد. برای ارزیابی کمی هر شاخص ارزیابی کیفیت تصویر معرفی شده با دو شاخص مبنا SAM و HPF و SAM که نماینده اطلاعات طیفی و مکانی‌اند، روی هر تصویر تست پیاده‌سازی و نمودار روند نمایش تحریفات آنها برای هر شاخص، با هریک از تصاویر تست رسم شد.

**۶-۲-۵- سنجش میزان تحریف در اطلاعات تصویر به صورت کیفی**  
برای داشتن معیار کیفی مقایسه، افزون بر معیارهای کمی انتخاب شده به منزله مبنای تحریف اطلاعات

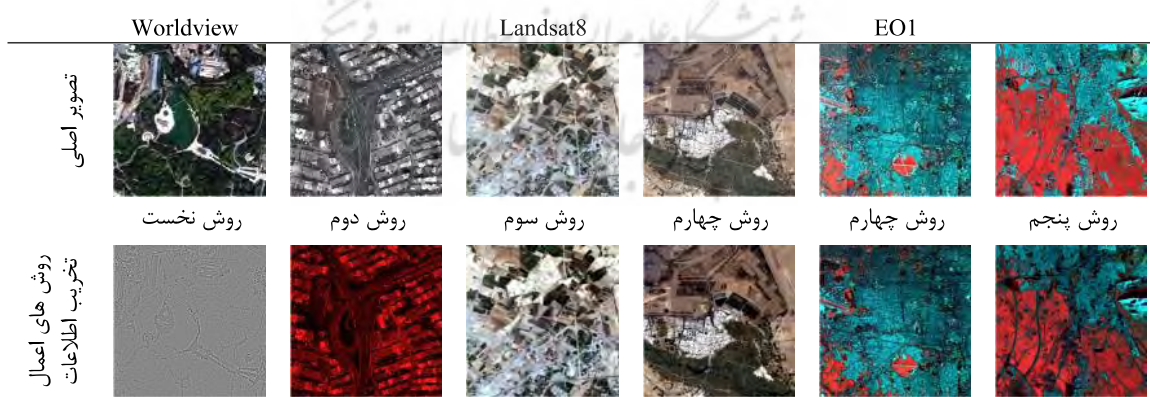
شد. برای در ک بهتر تفاوت حاصل از روش چهارم و پنجم، این دو روش بر تصاویر EO-1 با قدرت تفکیک مکانی یکسان اعمال شد.

شایان ذکر است که کیفیت بیان شده از نظر انسان با کیفیت تصویر در برخی از عملیات‌هایی که روی تصاویر سنجش از دوری اعمال می‌شود، مانند طبقه‌بندی متفاوت است. برای نمونه، در طبقه‌بندی جزئیات تصویر، مانند سایه و روش‌ها، اهمیت ندارد و افزون بر آن، بهنوعی باعث کاهش دقت طبقه‌بندی است. در صورتی که از نظر کاربر انسانی، همین جزئیات دقیق‌تر کیفیت تصویر را بیان می‌کند. در اینجا، با توجه به گستردگی و پیچیدگی‌های این مبحث، از آن صرف‌نظر کرده ایم و فرض را بر این اساس گذاشته‌ایم که کیفیت مورد بحث از نوع کیفیت مطرح در روش‌های مستقیم ارزیابی کیفیت تصاویر است و ارزیابی کیفیت براساس محصول استخراج شده از تصاویر تلفیقی در نظر گرفته نمی‌شود. درنتیجه، از ارزیابی بصری نیز برای تحلیل و تبیین شاخص‌های ارزیابی کیفیت استفاده شده است. برای نمونه، ارزیابی اعمال شده بر تصویر Landsat8 با بافت شهری نمایش داده شده در شکل ۶ در جدول ۲ ارائه شده است.

شاخص‌ها معرف کیفیت بهتر تصویر ادغام شده است. شاخص‌های SNR، WSNR و VSNR و PSNR نیز در همین محدوده تعریف می‌شود، با این تفاوت که میزان بالاتر این شاخص بیانگر کیفیت برتر تصویر ادغام شده است. معیارهای ارزیابی کیفیت SSIM، SR-SIM و FSIM در دامنه [0-1] تعریف می‌شود و نزدیک بودن به یک بیانگر کیفیت بالاتر تصویر ادغام شده است. درنهایت، شاخص NQM و CC دارای حدود [-∞, 1] و بالاترین میزان آن نماینده کیفیت بالاتر تصویر ادغام شده است. سپس، همه روش‌ها در دامنه [0-1] نرمال شدن، به گونه‌ای که کمترین میزان بیانگر بدترین کیفیت، و میل کردن به عدد یک بیانگر کیفیت بالاتر تصویر باشد. سپس تصاویر مرتب‌سازی شدن و در یکی از پنج گروه کیفی قرار گرفتند و مقدمات هر دو نوع ارزیابی کمی و کیفی فراهم شد.

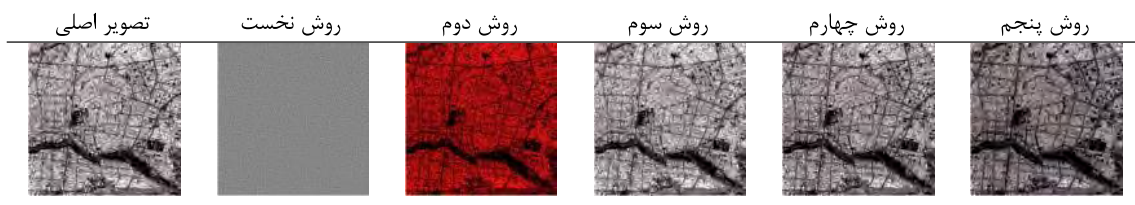
### ۳- نتایج و بحث

به ازای هر تصویر ماهواره‌ای برش داده شده از تصویر کلی، پنج تصویر با انحرافات طیفی و مکانی مشخص تولید شد. در شکل ۵ برش‌هایی از تصویر با ابعاد ۲۵۶\*۲۵۶ پیکسل با کاربری‌های متفاوت آمده که روی هریک روش‌های بیان شده در بخش روش کار اعمال



شکل ۵. تصاویر با اعوجاج طیفی و مکانی مشخص بر تصاویر ماهواره‌ای EO-1، Landsat8 و Worldview. مدل نخست: تخریب اطلاعات طیفی از طریق اعمال فیلتر بالاگذر، مدل دوم: تخریب اطلاعات مکانی طیفی از طریق اعمال جایه‌جایی باندها دربرابر تصویر مرجع و افزایش دهبرابری تن رنگ قرمز، مدل سوم: تخریب اطلاعات مکانی با اعمال فیلتر پایین‌گذر، مدل چهارم: تخریب اطلاعات مکانی با اعمال فیلتر فرسایشی ابعاد ۲، مدل پنجم: تخریب اطلاعات مکانی با اعمال فیلتر فرسایشی با ابعاد ۴

## تحلیل قابلیت شاخص‌های ارزیابی کیفیت تصاویر تلفیق شده ماهواره‌ای ...



شکل ۶. تصاویر با اعوجاج طیفی و مکانی مشخص روی تصویر Landsat8 با بافت شهری

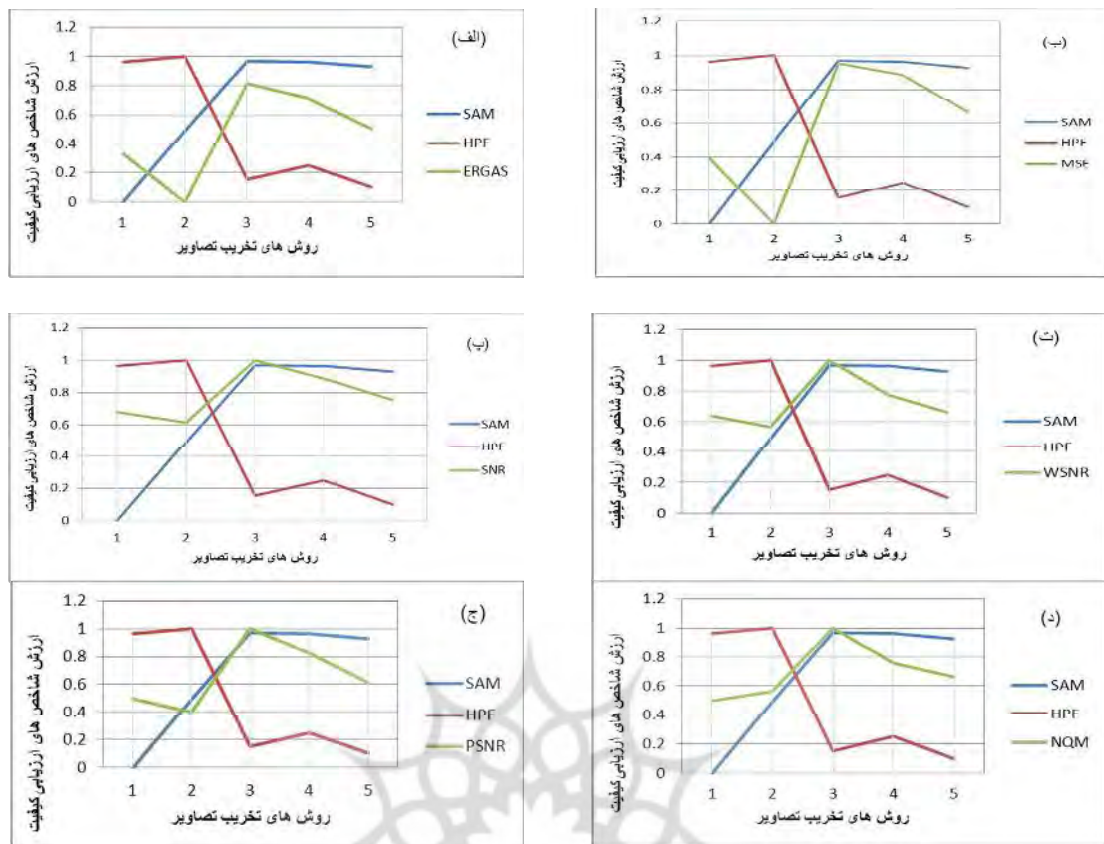
جدول ۲. نشان‌دهنده ارزیابی کیفی و کمی حاصل از شاخص‌های ارائه شده روی تصویر Landsat8 با بافت شهری

شاخص ارزیابی	HPF	SAM	SR-SIM	RFSIM	MAD	FSIM	SNR	WSNR	NQM	ارزیابی بصیری
روش نخست	0.9501 خوب	89.6235 بسیار بد	0.669 بسیار بد	-0.0006 بسیار بد	213.2364 بسیار بد	0.5817 بسیار بد	6.1353 بد	9.0164 بد	-0.1043 بسیار بد	بسیار بد
روش دوم	0.98702 عالی	45.7077 بد	0.8279 بد	0.848 عالی	117.379 بد	0.6795 بد	3.9497 بسیار بد	4.3133 بسیار بد	4.1537 بد	بد
روش سوم	0.15067 بد	2.9317 عالی	0.9646 عالی	0.2731 خوب	17.281 عالی	0.9448 عالی	17.2294 عالی	32.0773 عالی	32.7378 عالی	خوب
روش چهارم	0.24885 متوسط	3.3148 خوب	0.9528 خوب	0.2075 متوسط	62.2128 خوب	0.922 خوب	13.3208 خوب	17.8118 خوب	16.7468 خوب	عالی
روش پنجم	0.100138 بسیار بد	6.4352 متوسط	0.8552 متوسط	0.0325 بد	123.4992 متوسط	0.7718 متوسط	8.6818 متوسط	10.568 متوسط	10.539 متوسط	متوسط
شاخص ارزیابی	UQI	VSNR	MSSIM	SSIM	PSNR	MSE	RASE	ERGAS	CC	BIAS
روشنخست	-0.5572 بسیار بد	3.5721 بسیار بد	-0.0476 بسیار بد	-0.041 بسیار بد	10.9957 بد	5170.2 بد	69.12759 بسیار بد	22.6319 بد	-0.7931 بسیار بد	1.0948
روش دوم	0.4072 متوسط	11.6283 بد	0.7159 بد	0.6199 بد	8.8101 بسیار بد	8552 بسیار بد	87.093 بد	33.7416 بسیار بد	0.9419 عالی	0.6186
روش سوم	0.8144 عالی	21.6984 عالی	0.9823 عالی	0.9719 عالی	22.0898 عالی	410.8869 عالی	19.3502 عالی	6.3403 عالی	1.312 خوب	0.01812 عالی
روش چهارم	0.7248 خوب	18.6613 خوب	0.9276 خوب	0.9466 خوب	18.1812 خوب	988.4616 خوب	29.4316 خوب	9.6429 خوب	0.8008 متوسط	0.1345 خوب
روش پنجم	0.4051 بد	11.5268 بد	0.8632 متوسط	0.7642 متوسط	13.5422 متوسط	2876.5 متوسط	51.1697 متوسط	16.7593 متوسط	0.2646 بد	0.3285 متوسط

می‌شد، عملکرد یکسانی از خود نشان می‌دهد. در آنالیز کمی، روند هریک از شاخص‌های بیان شده با دو شاخص مبنای فیلتر بالاگذر به منزله بیان‌کننده اطلاعات مکانی، و شاخص نگاشت زاویه‌ای طیفی به منزله بیان‌کننده اطلاعات طیفی بررسی شد که نتایج این مقایسه‌ها در نمودارهای الف تا د شکل ۷ آمده است. روش‌های مبتنی بر نویز بیانگر میزان اغتشاش در سیگنال اس. درواقع، اطلاعات تصویر را به صورت کلی و بدون تفکیک اطلاعات به طیفی و مکانی بررسی می‌کنند.

نتایج جدول بیشترین میزان تفاوت کیفیت بین شاخص SAM و HPF را که نماینده اطلاعات طیفی و مکانی‌اند، تأیید می‌کند. بنابراین، عملکرد روش‌ها تخریب یک جانبه اطلاعات تصویر را تا حد زیادی فراهم کرده است. در آنالیز کیفی، شاخص‌هایی که نتایج مشابهی ارائه دادند، در یک گروه قرار گرفته است. SNR، WSNR، PSNR، MSE، ERGAS بیان‌شده، همگی، از شاخص‌های مبتنی بر نویزند (Yuhendra et al., 2012) و همان‌گونه که پیش‌بینی

## مهرنوش شاکریپور و همکاران

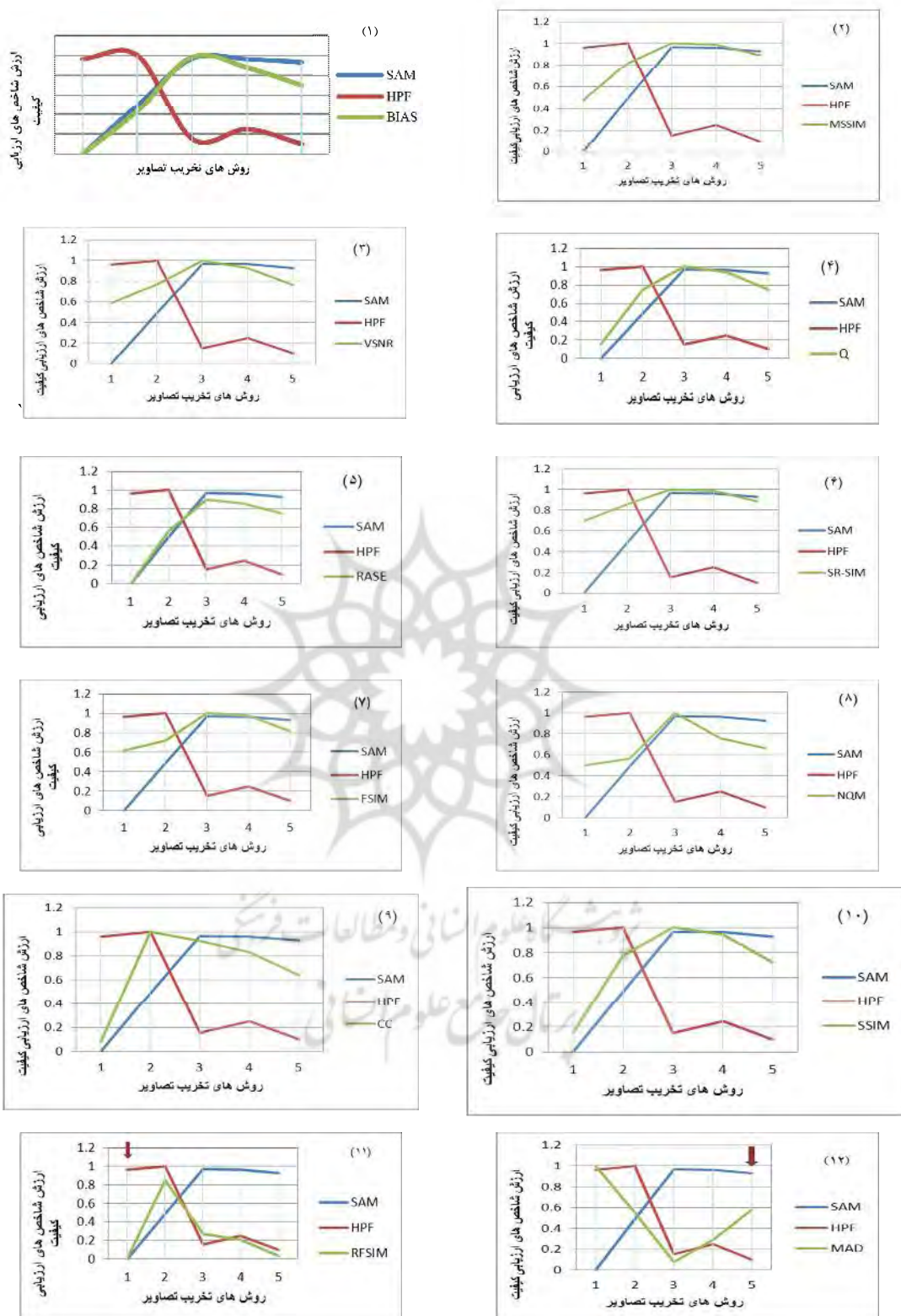


شکل ۷. شاخص‌های مبتنی بر نویز. (الف) ERGAS، (ب) SNR، (پ) MSE، (ت) WSNR، (ج) PSNR، (د) NQM

خاکستری پیکسل‌ها که در برابر روشنایی و کنتراست نرمال شده‌اند، با یکدیگر مقایسه می‌شوند. درواقع، شاخص‌های SSIM، FSIM، و RSIM که بر پایه SSIM معرفی شده‌اند، در نمایش اعوجاج اطلاعات طیفی توانایی بیشتری از خود نشان می‌دهند. نکته مهم دیگر شاخص NQM و VSNR است که هرچند جزء روش‌های مبتنی بر نویزند، در آنالیز کیفی مطابق با شاخص‌های مبتنی بر اطلاعات طیفی اظهارنظر می‌کنند که بهدلیل بررسی ویژگی‌هایی از تصویر، بر اطلاعات طیفی تصویر تأکید دارد. شاخص NQM تغییر کنتراست، تغییرات در میانگین درخشندگی محلی و آثار contrast masking را در نظر می‌گیرد. همچنین، شاخص VSNR روش مبتنی بر روشنایی و زاویه بصری است.

آنالیز کیفی شاخص‌های BIAS، RASE، UQI، SAM، MSSIM، NQM، FSIM، SRSIM، VSNR در یک گروه قرار می‌دهد. نیز، طبق نمودارهای ۱ تا ۸ در شکل ۸، آنالیز کمی نشان‌دهنده روند یکسان و هماهنگ روش‌های BIAS، RASE، UQI، SSIM، FSIM، SRSIM با روش مبنای SAM است. با توجه به این که شاخص SAM نمایش دهنده اعوجاجات طیفی است و همچنین، آن ویژگی از تصویر که هریک از شاخص‌های ذکر شده را بررسی می‌کند، می‌شود استدلال کرد شاخص‌های نامبرده در مورد اعوجاجات طیفی حساسیت بیشتری دارند و در نمایش شاخص‌های BIAS، RASE، UQI توصیفگر میانگین عملکرد روش مورد نظر در حفظ اطلاعات باندهای طیفی است. در شاخص SSIM الگوهای محلی درجات

## تحلیل قابلیت شاخص‌های ارزیابی کیفیت تصاویر تلفیق شده ماهواره‌ای ...



شکل ۸. نمودار روند شاخص‌های ارزیابی کیفیت تصویر در برابر شاخص نگاشت زاویه طیفی و شاخص فیلتر بالاگذر

مکانی تصویر صورت نگرفته است.

#### ۴- نتیجه‌گیری

در این تحقیق، برای نخستین بار به تحلیل قابلیت شاخص‌های ارزیابی کیفیت تصاویر تلفیق‌شده ماهواره‌ای با مدلسازی تخریب طیفی و مکانی پرداخته شده است. مدل پیشنهادی توانایی تعیین اطلاعات مورد بررسی به وسیله شاخص را در حد قابل قبولی دارد. شاخص‌های ارزیابی کیفیت بیان‌کننده کیفیت همه جانبه تصویر نیستند. همان‌طور که نشان داده شد، تصویر با تخریب اطلاعات مکانی بالا از نظر شاخص با نگرش طیفی مورد قبول است. با توجه به نکاتی که بیان کردیم، شاخص‌های ارائه شده در این مقاله را می‌شود در سه گروه دسته‌بندی کرد. دسته نخست، روش‌های مبتنی بر نویز برای ارزیابی کلی تصویر به نسبت نویز که شامل شاخص‌های ERGAS، MSE، NQM، MSSIM، RASE، Q، BIAS، NQ، PSNR، WSNR، SNR هستند. دسته دوم، روش‌های همسو با روش نگاشت زاویه طیفی «SAM» که به دلیل نمایش بهتر انحرافات طیفی، برای ارزیابی تصاویر با کاربردهای حساس به طیف توصیه می‌شود و شامل شاخص‌های FSIM، SRSIM و SAM است. شاخص‌های این دسته برای برآورد تخریب اطلاعات طیفی تصویر پیشنهاد می‌شود. دسته سوم شاخص هم‌روند با شاخص فیلتر بالاکنتر RFSIM و MAD است که در مقابل نمایش انحرافات مکانی قابلیت بالاتری دارد، از این‌رو برای برآورد تخریب اطلاعات مکانی تصویر مناسب است. البته باید توجه داشت که شاخص‌های ارزیابی کیفیت سعی در نزدیک کردن نتایج به ارزیابی بصری دارند. بنابراین، اولویت با ویژگی‌هایی از تصویر است که چشم انسان به آن حساسیت بیشتری دارد و تغییرات اندک آن را به‌وضوح درک می‌کند. بنابراین، بیشتر شاخص‌های ارزیابی کیفیت تصویر قابلیت بالاتری در

1. stretches

بخش ۴ نمودار ۱۱ روند هماهنگ شاخص RFSIM را در مقابل روند شاخص HPF نشان می‌دهد. اساس کار این شاخص بر این واقعیت است که سیستم بینایی انسان بیشتر ویژگی‌های سطح پایین را دریافت می‌کند. با توجه به ویژگی‌های درنظر گرفته شده، چنین هماهنگی‌ای در این شاخص با شاخص HPF انتظار می‌رود، به‌جز در روش نخست که تخریب طیفی بیشترین مقدار است. درواقع، این شاخص بر حفظ اطلاعات مکانی تأکید دارد، در شرایطی که اطلاعات طیفی تا اندازه‌ای حفظ شده باشد و این روند بیانگر ارتباط انکارناپذیر اطلاعات طیفی و مکانی با یکدیگر است. شاخص MAD به نسبت دیگر شاخص‌های مبتنی بر ویژگی‌های بصری در درک تحریف اطلاعات مکانی شده است. در روش پنجم که اطلاعات مکانی و اطلاعات طیفی با نسبت‌های متفاوت تخریب شده، به هر دو نوع تخریب پاسخ داده است که این پاسخ استراتژی چندگانه این شاخص را تبیین می‌کند.

تاکنون در زمینه بررسی توانایی شاخص‌های ارزیابی تحقیقاتی صورت گرفته است. آنالیز آماری شاخص‌های ارزیابی کیفیت تصویر از نظر میزان واکنش پذیری به تغییرات تصویر (Sayood, 2002)، آنالیز شاخص‌های ارزیابی کیفیت تصویر از نظر هم خوانی با ارزیابی بصری که این ارزیابی، شاخص‌های مبتنی بر پارامترهای (Klonus & Ehlers, 2009) بصری را ارجح می‌داند (Zhang, 2008) بررسی تأثیرپذیری شاخص‌های ارزیابی کیفیت تصویر توسط تصاویری با کشیدگی متفاوت، نتیجه ناتوانی به بیان دیگر با نوع نمایش تغییرات، نتیجه ناتوانی روش‌های ارزیابی کیفیت آماری در تشخیص این نوع تغییرات را تصدیق می‌کند. بررسی توانایی شاخص‌های ارزیابی کیفیت از طریق سنتز متحرک با مبنای قرار دادن شاخص MSE (Wang & Simoncelli, 2004)، که کارایی شاخص SSIM را از نظر هم خوانی با ارزیابی بصری تأیید می‌کند (Mattappillil et al, 2013). اما تا کنون تحقیقی در مورد توانایی شاخص‌های ارزیابی کیفیت تصویر در نمایش نوع تحریف اطلاعات طیفی و

Chandler, D.M. & Hemami, S.S., 2007, **VSNR: A Wavelet-Based Visual Signal-to-Noise Ratio for Natural Images**, Image Processing, IEEE Transactions on, 16(9), 2284-2298.

Damera-Venkata, N., Kite, T.D., Geisler, W.S., Evans, B.L. & Bovik, A.C., 2000, **Image Quality Assessment Based on a Degradation Model**, Image Processing, IEEE Transactions on, 9(4), 636-650.

Han, S.S., Li, H.T. & Gu, H.Y., 2008, **The Study on Image Fusion for High Spatial Resolution Remote Sensing Images**, Int Arch Photogram Rem Sens Spatial Inform Sci, 37, 1159-1163.

Hoult, D.I. & Richards, R.E., 1976, **The Signal-to-Noise Ratio of the Nuclear Magnetic Resonance Experiment**, Journal of Magnetic Resonance (1969), 24(1), 71-85.

Hu, X., Lu, H., Zhang, L. & Serikawa, S., 2010, **A New Type of Multi-Focus Image Fusion Method Based on Curvelet Transforms**, In Electrical and Control Engineering (ICECE), 2010, June, International Conference on pp. 172-175.

Kite, T.D., Evans, B.L. & Bovik, A.C., 2000, **Modeling and Quality Assessment of Halftoning by Error Diffusion**, Image Processing, IEEE Transactions on, 9(5), 909-922.

Kim, Y., Lee, C., Han, D., Kim, Y. & Kim, Y., 2011, **Improved Additive-Wavelet Image Fusion**, Geoscience and Remote Sensing Letters, IEEE, 8(2), 263-267.

Klonus, S. & Ehlers, M., 2009, **Performance of Evaluation Methods in Image Fusion**, In Information Fusion, 2009, July, FUSION'09, 12th International Conference on pp. 1409-1416 IEEE.

نمایش انحرافات طیفی از خود نشان می‌دهد. با وجود چنین تحلیلی، نباید همبستگی اطلاعات طیفی و مکانی را از نظر دور داشت. تفاوت نظر شاخص‌ها ناشی از پارامترها و وزن هریک از اطلاعات مورد سنجش تصویر است که شاخص مورد نظر ارزیابی می‌کند. با توجه به تعدد شاخص‌های ارزیابی کیفیت تصویر، انتخاب شاخص ارزیابی تصویر مناسب نیازمند توجه به برخی نکات است. در گام نخست، تعیین هدف و حیطه کاربرد تصویر ارجحیت اطلاعات طیفی و یا مکانی را تعیین می‌کند. برای نمونه، در کاربردهای شهری و نقشه‌برداری، حفظ اطلاعات مکانی ارجحیت دارد و در کاربردهای کشاورزی و منابع طبیعی، مانند جداسازی و تشخیص گونه‌های گیاهی و گروه‌های بزرگ خاک، داشتن اطلاعات طیفی دقیق‌تر اهمیت می‌یابد. گام بعدی شناخت و درک ویژگی‌هایی از تصویر مورد بررسی قرار شاخص‌های ارزیابی کیفیت تصویر مورد بررسی قرار می‌دهند. به‌طورکلی، هدف از ارزیابی بررسی اعتبار اطلاعات حاصل از تلفیق در دو بعد مکانی و طیفی است. داشتن ارزیابی درست و کامل زمانی حاصل می‌شود که دید جامع به تصویر وجود داشته باشد و ویژگی‌های مکانی و طیفی تصویر هم‌زمان ارزیابی شود. بنابراین، پیشنهاد می‌شود برای ارزیابی همه‌جانبه تصویر، از شاخص‌های قرارگرفته در هر گروه به‌منزله نماینده اعوجاج طیفی و یا مکانی استفاده شود و با درنظر گرفتن حیطه کاربرد تصویر در زمینه‌های مطالعات و کاربرد تصاویر تلفیق‌شده در منابع طبیعی، مناطق شهری و دیگر کاربردها ارجحیت ویژگی مکانی و طیفی مشخص شود و درنهایت، روش تلفیقی انتخاب شود که پاسخگوی نیاز کاربران باشد.

#### - منابع

Al-Wassai, F. A., Kalyankar, N.V. & Al-Zuky, A.A., 2011, **Arithmetic and Frequency Filtering Methods of Pixel-Based Image Fusion Techniques**, Computer vision and pattern recognition, arXiv preprint arXiv: 1107.3348.

- Larson, E.C. & Chandler, D.M., 2010, **Most Apparent Distortion: Full-Reference Image Quality Assessment and the Role of Strategy**, Journal of Electronic Imaging, 19(1), 011006-011006.
- Mattappillil, J., Soundarya Mala, P., Sailaja, V. & Mahidar, R., 2013, **Comparative Evaluation of Image Fusion Technique Using Shift Invariant Transforms**, Journal of Engineering Research and Application,(3), 1073-1076.
- Raut, G.N., Paikrao, P.L. & Chaudhari, D.S., 2013, **A Study of Quality Assessment Techniques for Fused Images**, International Journal of Innovative Technology and Exploring Engineering (IJITEE), 2, 290-294.
- Robila, S.A., 2005, **Using Spectral Distances for Speedup in Hyperspectral Image Processing**, International Journal of Remote Sensing, 26(24), 5629-5650.
- Sayood, K., 2002, **Statistical Evaluation of Image Quality Measures**, Journal of Electronic imaging, 11(2), 206-223.
- Shi, W., Zhu, C., Tian, Y. & Nichol, J., 2005, **Wavelet-Based Image Fusion and Quality Assessment**, International Journal of Applied Earth Observation and Geoinformation, 6(3), 241-251.
- Wald, L., 2000, **Quality of High Resolution Synthesised Images: Is There a Simple Criterion?**, In Proceedings, pp. 99-103.
- Wang, Z. & Simoncelli, E.P., 2004, **Stimulus Synthesis for Efficient Evaluation and Refinement of Perceptual Image Quality Metrics**, In Electronic Imaging ,2004, June, pp. 99-108, International Society for Optics and Photonics.
- Wang, Z. & Bovik, A.C., 2002, **A Universal Image Quality Index**, Signal Processing Letters, IEEE, 9(3), 81-84.
- Wang, Z., Bovik, A.C., Sheikh, H.R. & Simoncelli, E.P., 2004, **Image Quality Assessment: from Error Visibility to Structural Similarity**, Image Processing, IEEE Transactions on, 13(4), 600-612.
- Yuhendra, Y., Alimuddina, I., Sri Sumantyoa, J.T. & Kuze, H., 2012, **Assessment of Pan-Sharpening Methods Applied to Image Fusion of Remotely Sensed Multi-Band Data**, International Journal of Applied Earth Observation and Geoinformation ,18. 165–175.
- Zhang, F., Ma, L., Li, S. & Ngan, K.N., 2011, **Practical Image Quality Metric Applied to Image Coding**, Multimedia, IEEE Transactions on 13(4), 615-624.
- Zhang, L. & Li, H., 2012, **SR-SIM: A Fast and High Performance IQA Index Based on Spectral Residual**, In Image Processing (ICIP), 2012, September, 19th IEEE International Conference on pp. 1473-1476, IEEE.
- Zhang, L., Zhang, D. & Mou, X., 2010, **RFSIM: A Feature Based Image Quality Assessment Metric Using Riesz Transforms**, In Image Processing (ICIP), 2010, September, 17th IEEE International Conference on pp. 321-324, IEEE.
- Zhang, L., Zhang, D. & Mou, X., 2011, **FSIM: A Feature Dimilarity Index for Image Quality Assessment**, Image Processing, IEEE Transactions on, 20(8), 2378-2386.
- Zhang, Yun., 2008, **Methods for Image Fusion Quality Assessment-A Review, Comparison and Analysis**, The International Archives of the Photogrammetry, Remote Sensing and Spatial Information Sciences, 37, 1101-1109.